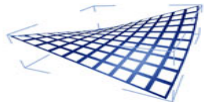

Iluminação e FotoRealismo: Radiosidade

Luís Paulo Peixoto dos Santos

<http://gec.di.uminho.pt/mcgav/ifr>



Premissas

- Todas as interacções da luz com os objectos são difusas

$$L(x \rightarrow \Theta) = L(x), \forall \Theta \in \Omega_s$$

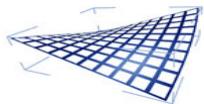
- Expressa em termos de radiosidade (W/m²)

$$B(x) = \int_{\Omega_s} L(x) \cos(\vec{N}_x, \Theta) \hat{\partial}_{\omega_\Theta} = L(x) \int_{\Omega_s} \cos(N_x, \Theta) \hat{\partial}_{\omega_\Theta} = \pi L(x)$$

- A BRDF $f_r(x, \Theta \leftrightarrow \Psi)$ é independente das direcções

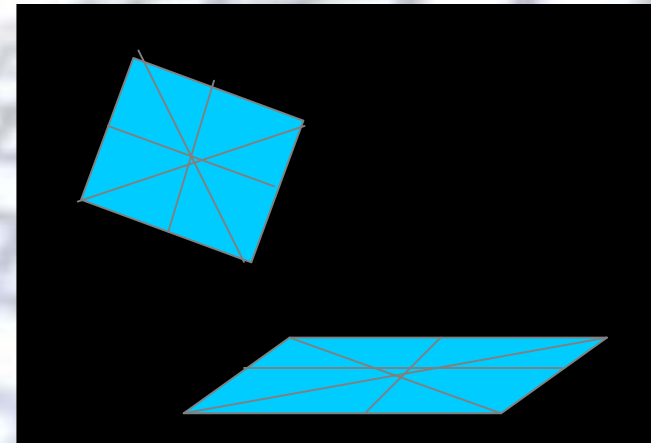
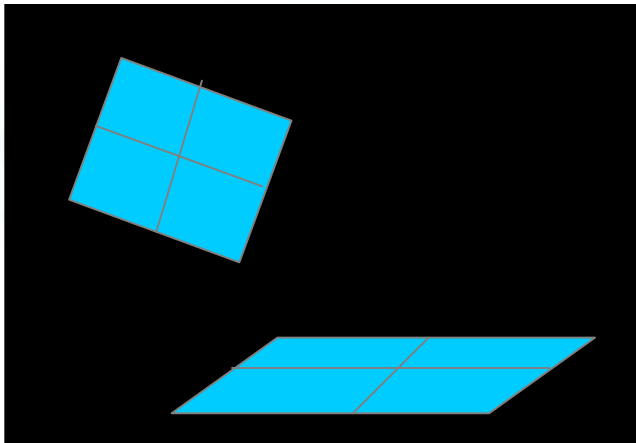
$$f_r(x, \Theta \leftrightarrow \Psi) = f_r(x) = \frac{\rho_d(x)}{\pi}$$

onde $\rho_d(x)$ é o coeficiente de reflexão difuso (dependente de λ)

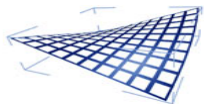


Premissas

- A geometria é subdividida em *patches* P_i (geralmente poligonais)



- A qualidade da solução final depende da granularidade da subdivisão em *patches*
- Esta pode ser decidida antes da execução (e.g. radiosidade hierárquica) OU refinada em tempo de execução



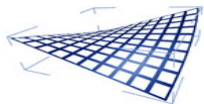
Premissas

- O coeficiente de reflexão difuso é constante para cada *patch*

$$\rho(x) = \rho_i, \forall x \in P_i$$

- A radiosidade é constante para cada *patch*

$$B_i = \frac{1}{A_i} \int_{A_i} B(x) \hat{\partial}_{A_i}$$



Formulação matemática

- A equação de rendering para cada ponto x de um *patch* i é :

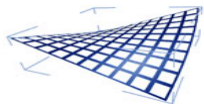
$$B_i(x) = B_{ei}(x) + \int_A \frac{\rho(x)}{\pi} B(y) V(x, y) G(x, y) \partial_{A_y}$$

- Integrando para a área de P_i (A_i) e assumindo que B e ρ são constantes para P_i

$$B_i A_i = B_{ei} A_i + \rho_d \frac{1}{A_i} \int_{A_i} \int_A B(y) \frac{V(x, y) G(x, y)}{\pi} \partial_{A_y} \partial_{A_i}$$

- Convertendo o integral da área de todos os outros *patches* num somatório das várias áreas dos *patches* P_j

$$B_i A_i = B_{ei} A_i + \rho_d \sum_j \frac{1}{A_i} \int_{A_i} \int_{A_j} B(y) \frac{V(x, y) G(x, y)}{\pi} \partial_{A_j} \partial_{A_i}$$



Formulação matemática

- Assumindo que a radiosidade é constante ao longo de cada *patch* P_j

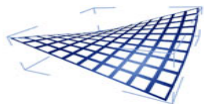
$$B_i A_i = B_{ei} A_i + \rho_d \sum_j B_j A_j \frac{1}{A_i} \int_{A_i} \int_{A_j} \frac{V(x, y) G(x, y)}{\pi} \partial_{A_j} \partial_{A_i}$$

- Dividindo dos 2 lados por A_i

$$B_i = B_{ei} + \rho_d \sum_j B_j \frac{A_j}{A_i} \int_{A_i} \int_{A_j} \frac{1}{A_i} \frac{V(x, y) G(x, y)}{\pi} \partial_{A_j} \partial_{A_i}$$

Obtemos a equação da radiosidade

$$B_i = B_{ei} + \rho_d \sum_j B_j \frac{A_j}{A_i} F_{ji}$$



Formulação matemática

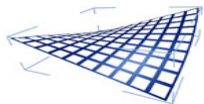
$$B_i = B_{ei} + \rho_d \sum_j B_j \frac{A_j}{A_i} F_{ji}$$

F_{ji} é designado por form-factor e indica a fracção de radiosidade emitida por P_j que incide em P_i . Os *form factors* exibem a seguinte propriedade:

$$F_{ji} A_j = F_{ij} A_i \Leftrightarrow F_{ij} = \frac{F_{ji} A_j}{A_i}$$

logo:

$$B_i = B_{ei} + \rho_d \sum_j B_j F_{ij}$$



Form-Factors - complexidade

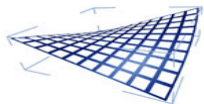
$$F_{ij} = \frac{1}{A_i} \int_{A_i} \int_{A_j} \frac{V(x_i, y_j) G(x_i, y_j)}{\pi} \partial_{A_j} \partial_{A_i}$$
$$F_{ij} = \frac{1}{A_i} \int_{A_i} \int_{A_j} \frac{V(x_i, y_j) \cos(\theta_i) \cos(\theta_j)}{\pi r^2} \partial_{A_j} \partial_{A_i}$$

O *form factor* é um integral duplo de difícil resolução analítica.

Indica a quantidade de radiação emitida pelo *patch* j que incide no *patch* i.

O seu valor depende da geometria: visibilidade mútua, distância, orientação e área dos *patches*.

O cálculo dos *form-factors* tem uma complexidade $O(n^2)$, podendo rapidamente tornar-se a componente mais dispendiosa do algoritmo.

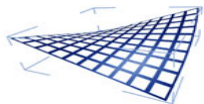


Sistema de equações

$$B_i = B_{ei} + \rho_d \sum_j B_j F_{ij}$$

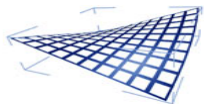
Num ambiente fechado existe uma solução para cada B_i que pode ser obtida resolvendo um sistema de n equações com n^2 form-factors

$$\begin{bmatrix} 1 - \rho_1 F_{11} & -\rho_1 F_{12} & \cdot & \cdot & -\rho_1 F_{1n} \\ -\rho_2 F_{21} & 1 - \rho_2 F_{22} & \cdot & \cdot & -\rho_2 F_{2n} \\ \cdot & \cdot & \cdot & \cdot & \cdot \\ \cdot & \cdot & \cdot & \cdot & \cdot \\ -\rho_n F_{n1} & -\rho_n F_{n2} & \cdot & \cdot & 1 - \rho_n F_{nn} \end{bmatrix} \begin{bmatrix} B_1 \\ B_2 \\ \cdot \\ \cdot \\ B_n \end{bmatrix} = \begin{bmatrix} B_{e1} \\ B_{e2} \\ \cdot \\ \cdot \\ B_{en} \end{bmatrix}$$



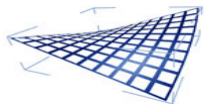
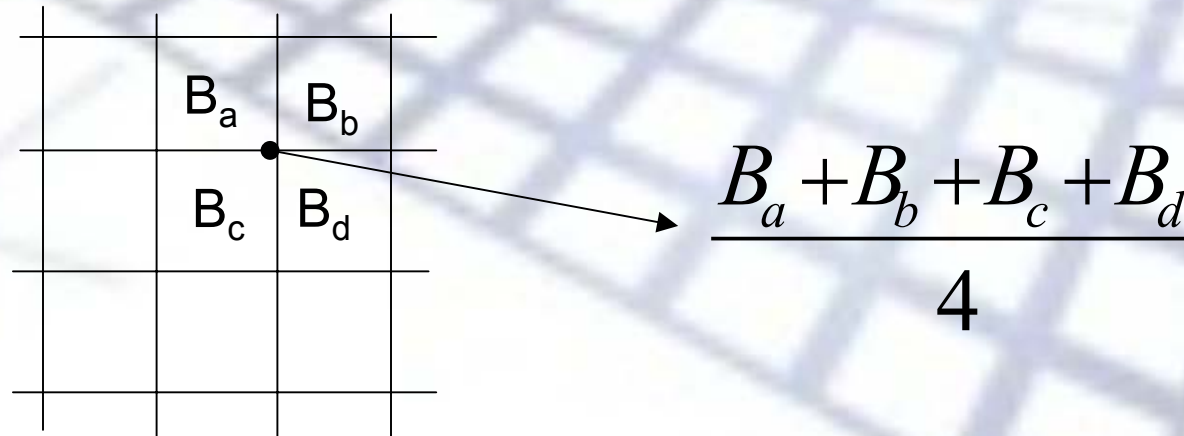
Propriedades do sistema de equações

- Os valores B_{ei} são diferentes de 0 apenas para os *patches* correspondentes a fontes de luz
- F_{ij} é igual a 0 para *patches* planares ou convexos. O *patch* não emite radiosidade sobre si mesmo.
- Em ambientes complexos um grande número de F_{ij} serão 0 pois os *patches* P_i e P_j não são mutuamente visíveis
- A matriz de *form-factors* é uma matriz dispersa que pode ser resolvida numericamente usando o método de Gauss-Seidel
- B_i , B_{ei} e ρ_i são dependentes do comprimento de onda, implicando a resolução de 3 sistemas.
- Os form-factors num meio participativo também são dependentes do comprimento de onda. Este aspecto é geralmente ignorado devido à complexidade do cálculo.



Rendering

- As radiosidades são calculados no espaço dos objectos.
- O *hardware* gráfico pode ser usado para interpolar a radiosidade ao longo de cada patch (Gouraud *shading*) desde que as radiosidades nos vértices sejam conhecidas. Sintetiza-se assim uma imagem a partir de **qualquer** ponto de vista.

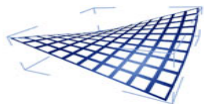


Resolução do sistema - *gathering*

- O método de Gauss-Seidel computa aproximações B_i^t a partir da aproximação B_i^{t-1} . A resolução é feita linha a linha calculando um B_i^t em cada iteração.
- $B_i^0 = B_{ei}$, sendo 0 para todos os *patches* não auto-emissores.

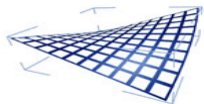
$$\begin{bmatrix} B_1^t \\ \cdot \\ B_i^t \\ \cdot \\ B_n^t \end{bmatrix} = \begin{bmatrix} B_{e1} \\ \cdot \\ B_{ei} \\ \cdot \\ B_{en} \end{bmatrix} + \begin{bmatrix} \cdot & \cdot & \cdot & \cdot & \cdot \\ \cdot & \cdot & \cdot & \cdot & \cdot \\ \rho_i F_{i1} & \rho_i F_{i2} & \cdot & \cdot & \rho_i F_{in} \\ \cdot & \cdot & \cdot & \cdot & \cdot \\ \cdot & \cdot & \cdot & \cdot & \cdot \end{bmatrix} \begin{bmatrix} B_1^{t-1} \\ \cdot \\ B_i^{t-1} \\ \cdot \\ B_n^{t-1} \end{bmatrix}$$

- Implica o cálculo inicial de todos os n^2 *form-factors*.
- Cada *patch* P_i recolhe (*gathers*) radiossidade de todos os outros *patches*.
- Cada avaliação da matriz calcula apenas um B_i^t



Radiosidade Progressiva

- A principal desvantagem do método anterior é que cada iteração aproxima a iluminação de apenas um *patch*
- Implica também o cálculo inicial de todos os n^2 *form-factors*
- O objectivo da radiosidade progressiva é conseguir rapidamente uma aproximação à radiosidade de todos os *patches*
- Esta solução é depois refinada com mais iterações
- O refinamento progressivo é conseguido reordenando a forma como a radiosidade é calculada

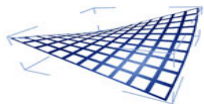


Radiosidade Progressiva

- Em lugar de calcular a aproximação B_i^t devida a todos os patches P_j com radiosidade B_j^{t-1} vamos calcular a radiosidade B_j^t de todos os *patches* P_j devida à radiosidade B_i^{t-1} do *patch* P_i

$$B_j \text{ devida a } B_i = \rho_j B_i F_{ji} = \rho_j B_i F_{ij} \frac{A_i}{A_j}$$

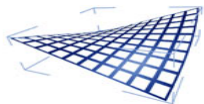
- Em cada iteração podemos calcular a variação de radiosidade ΔB_j para todos os P_j devida ao *patch* P_i .
- $B_j^{t+1} = B_j^t + \Delta B_j$
- Para cada iteração apenas é necessário calcular n form-factors F_{ij} para o *patch* i cuja radiosidade B_i^t está a ser propagada (*shooting*)



Radiosidade progressiva

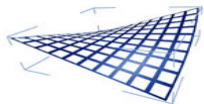
$$\begin{bmatrix} B_1^{t+1} \\ B_2^{t+1} \\ \cdot \\ \cdot \\ B_n^{t+1} \end{bmatrix} = \begin{bmatrix} B_1^t \\ B_2^t \\ \cdot \\ \cdot \\ B_n^t \end{bmatrix} + \begin{bmatrix} \cdot \\ \cdot \\ \hline B_i^t \\ \cdot \\ \cdot \end{bmatrix} \begin{bmatrix} \cdot & \cdot & \rho_1 F_{1i} & \cdot & \cdot \\ \cdot & \cdot & \rho_{21} F_{2i} & \cdot & \cdot \\ \cdot & \cdot & \cdot & \cdot & \cdot \\ \cdot & \cdot & \cdot & \cdot & \cdot \\ \cdot & \cdot & \rho_n F_{ni} & \cdot & \cdot \end{bmatrix}$$

$$B_j^{t+1} = B_j^t + \underbrace{B_i^t \sum_j (\rho_j F_{ji})}_{\Delta B_j} = B_j^t + \underbrace{B_i^t \sum_j (\rho_j F_{ij} \frac{A_i}{A_j})}_{\Delta B_j}$$

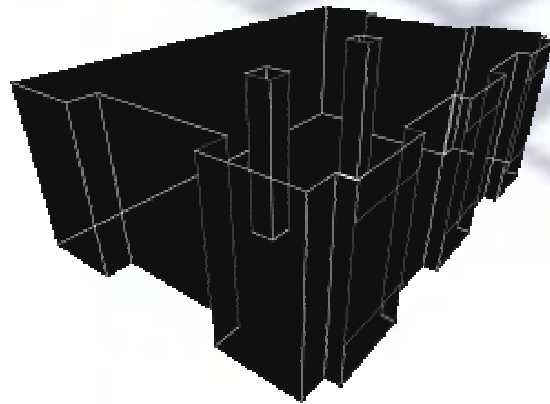
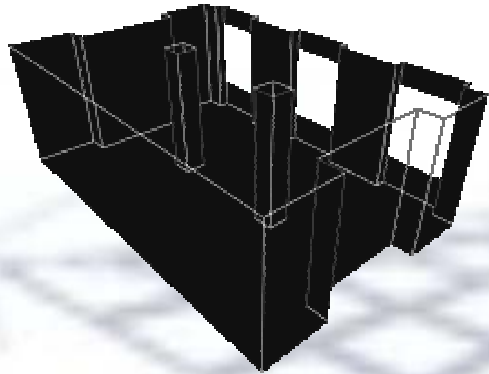


Radiosidade Progressiva

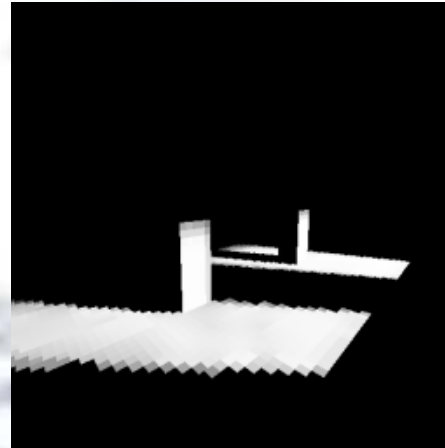
- Inicialmente $B_i^0 = B_{ei}^0$. Qual deve ser a ordem pela qual se seleccionam os *patches* P_i que vão propagar a sua radiosidade?
- Estes devem ser ordenados por B_i^t . O *patch* P_i com maior radiosidade B_i^t deve ser o primeiro a propagar a sua radiosidade para que a solução convirja o mais rapidamente possível.
- O processo para quando os ΔB_j forem menores que um determinado limite.



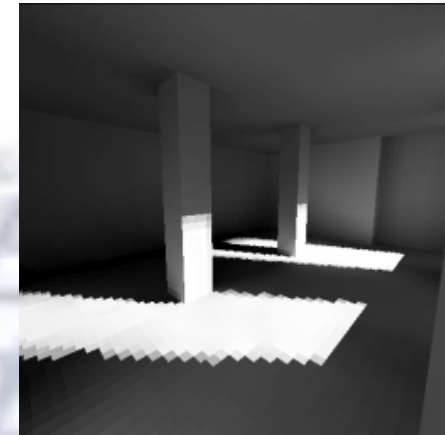
Radiosidade Progressiva



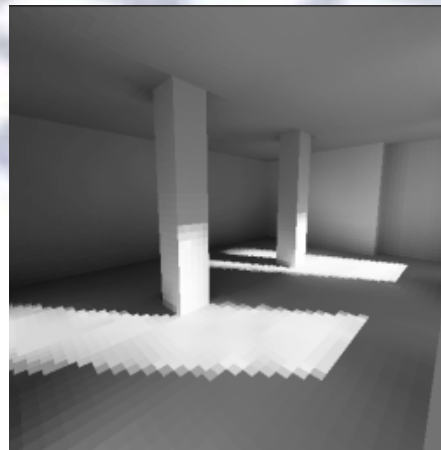
Geometria da cena



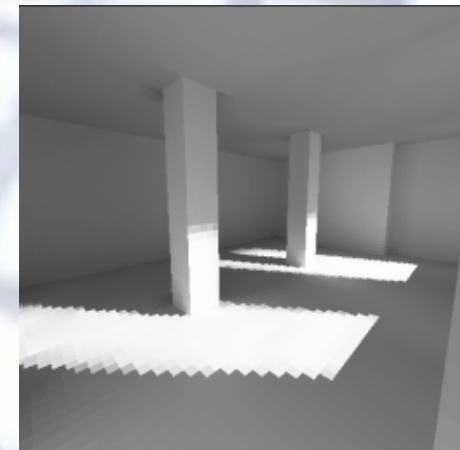
1 iteração



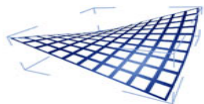
2 iterações



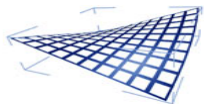
3 iterações



16 iterações

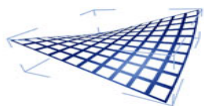


Radiosidade Progressiva

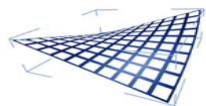
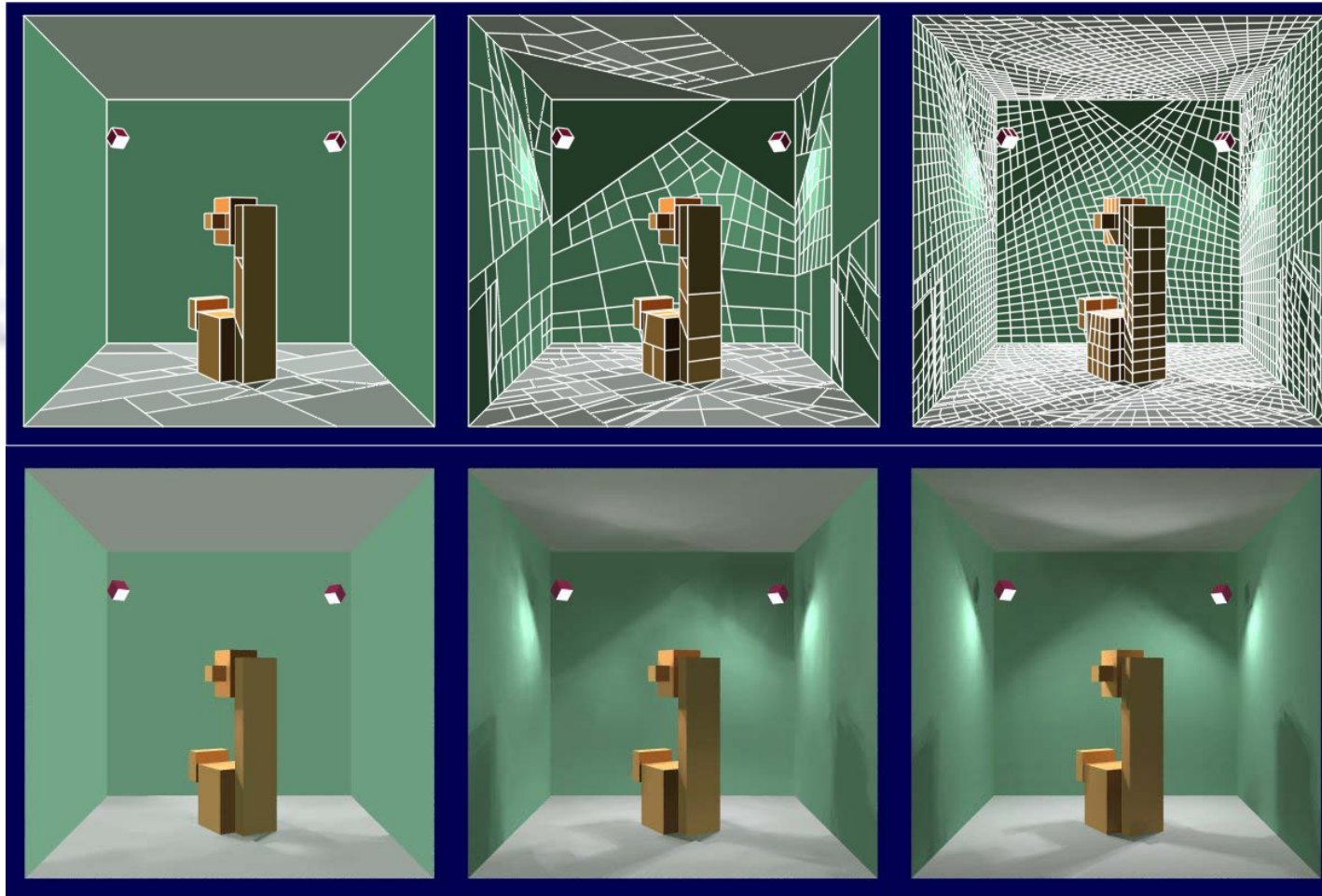


Refinamento da grelha de *patches*

- A qualidade da solução depende da granularidade da grelha de *patches*
- Em zonas de alto gradiente (e.g. limites das sombras) o carácter discreto dos *patches* pode ser muito visível
- A grelha de *patches* pode ser definida de forma estática, antes da execução do algoritmo (e.g. radiossidade hierárquica [Hanrahan et al.91])
- ou refinada durante a execução do próprio algoritmo, e.g., *discontinuity meshing*

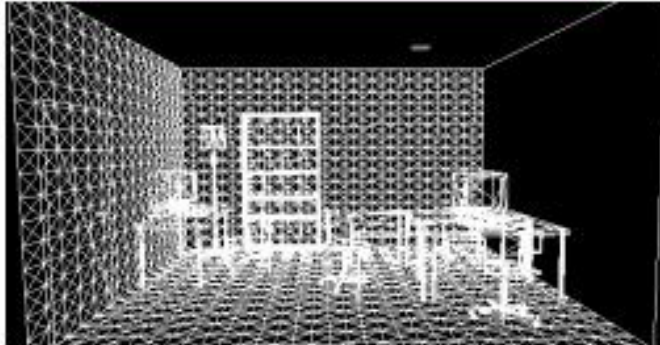


Refinamento da grelha de *patches*



Refinamento da grelha de *patches*

Initial (uniform) meshing



Rough radiosity calculation

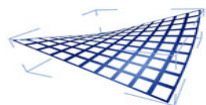
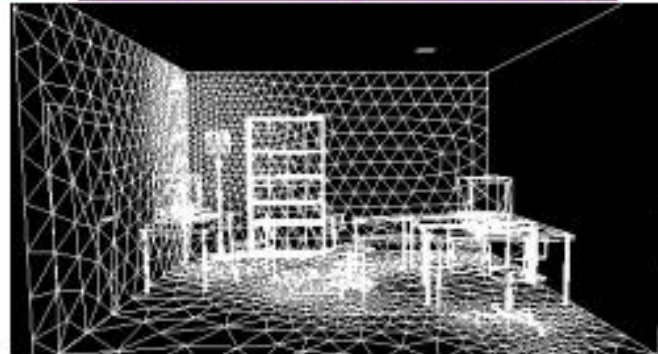


Polygon size evaluation

Final radiosity calculation



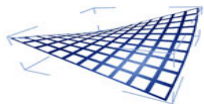
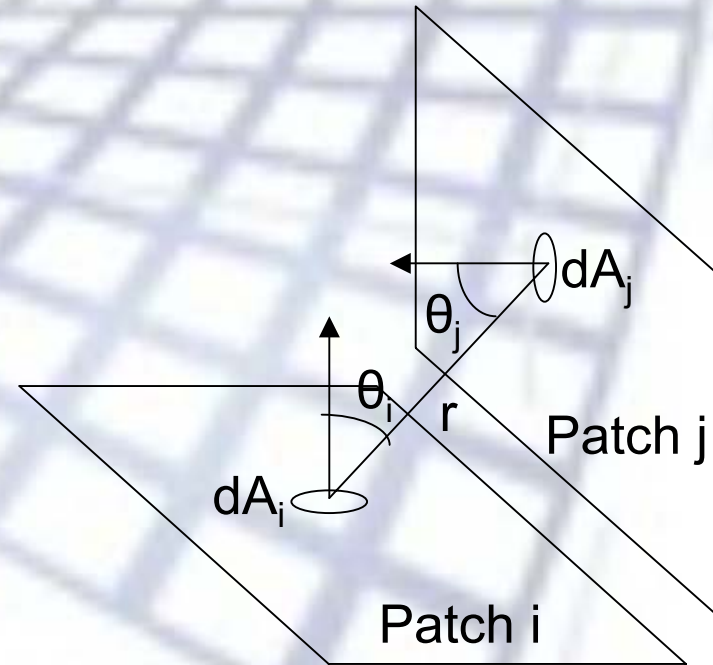
Intensity-adaptive meshing



Cálculo dos *form-factors*

$$F_{ij} = \frac{1}{A_i} \int_{A_i} \int_{A_j} V(x_i, y_j) \frac{\cos(\theta_i) \cos(\theta_j)}{\pi r^2} dA_j dA_i$$

- F_{ij} representa a fracção da radiosidade emitida por P_j que incide em P_i .
- O cálculo analítico dos *form-factors* é dispendioso, recorrendo-se a soluções geométricas.

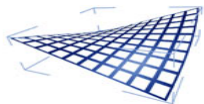
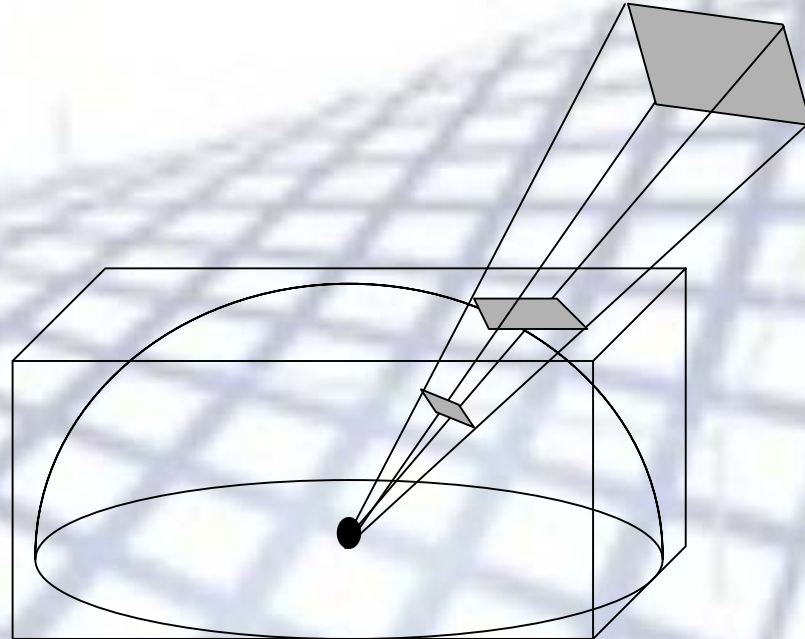


Form-Factors: HemiCubo

Analogia de Nusselt -

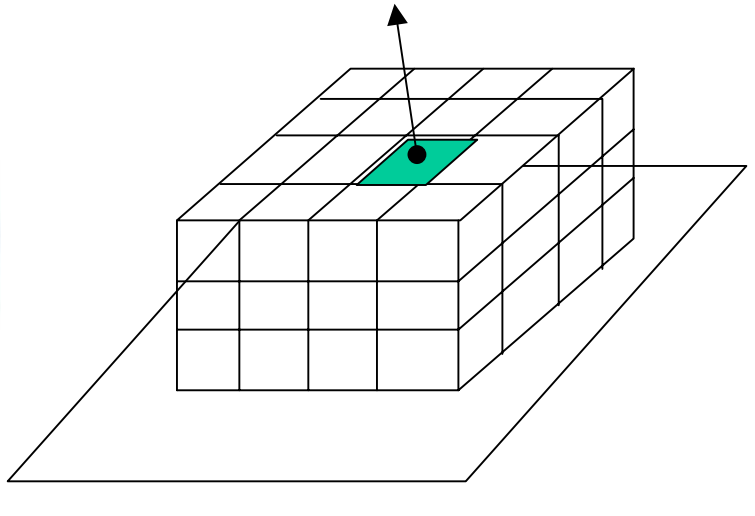
O polígono, a sua projecção no hemicubo e a sua projecção na hemisfera têm todos o mesmo *form-factor*.

Esta analogia permite usar projecções dos *patches* num hemicubo para calcular *form factors*



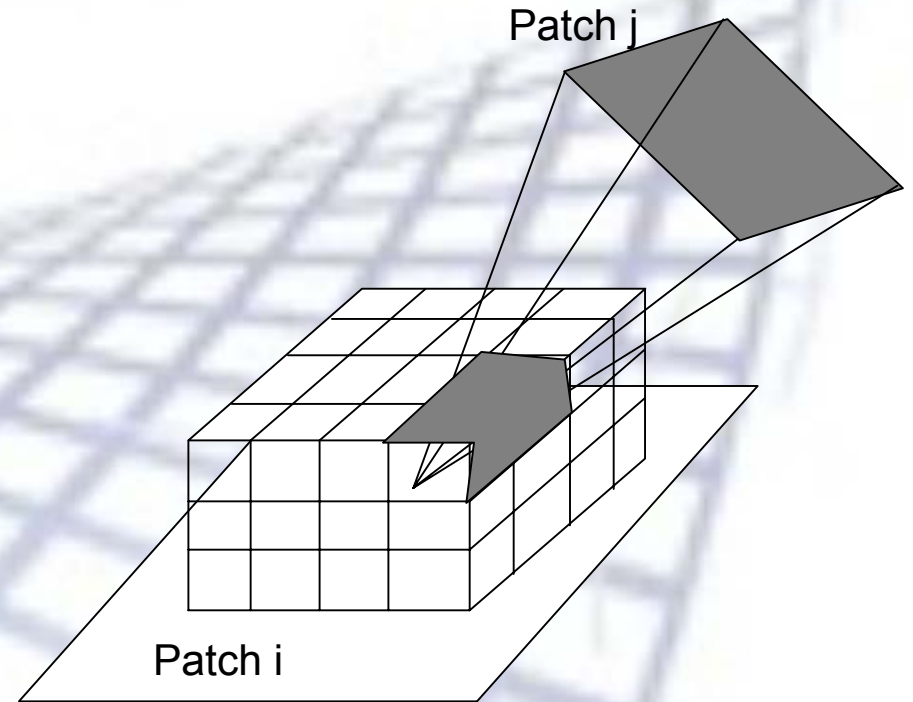
Form-Factors: Hemicubo

“pixel” A com área ΔA



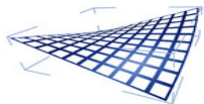
A área ΔA é igual para todos os elementos do hemicubo. ΔF_q para cada elemento é dada por:

$$\Delta F_q = \frac{\cos \theta_i \cos \theta_j}{\pi r^2} \Delta A$$



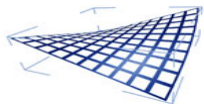
$$F_{ij} = \sum_q \Delta F_q$$

Para todos os F_q
onde P_j projecta



Form-Factors: Hemicubo

- Para cada *patch* i todos os *patches* j devem ser projectados no hemicubo.
- Vários *patches* j projectam no mesmo “pixel” do hemicubo
- O algoritmo deve armazenar o ID do *patch* que projecta no “pixel” e a distância entre P_i e P_j (à semelhança de um Z-buffer)
- Para cada “pixel” apenas o *patch* P_j mais próximo interessa, pois todos os outros estarão ocluídos por este.



Form-Factors: Ray Tracing

- Em vez de usar um hemicubo pode ser usada uma hemisfera de raio 1 centrada em Pi, com a superfície dividida em áreas elementares.

- Cada área elementar corresponde aos ângulos $(\Delta\varphi, \Delta\theta)$ com

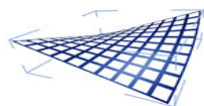
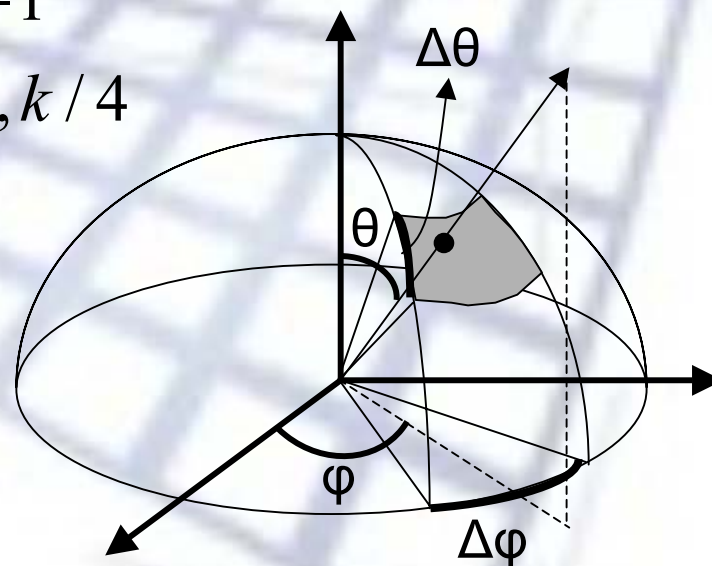
$$\Delta\varphi = \Delta\theta = 2\pi / k$$

$$\varphi \in [0, 2\pi], \varphi = l(\Delta\varphi), l = 0, 1, \dots, k - 1$$

$$\theta \in [0, \pi / 2], \theta = m(\Delta\theta), m = 0, 1, \dots, k / 4$$

$$\Delta A = \Delta\varphi \Delta\theta \sin \theta$$

$$\Delta F_{lm} = \frac{2\pi}{k^2} \sin(2\theta)$$

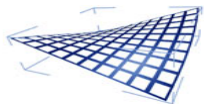
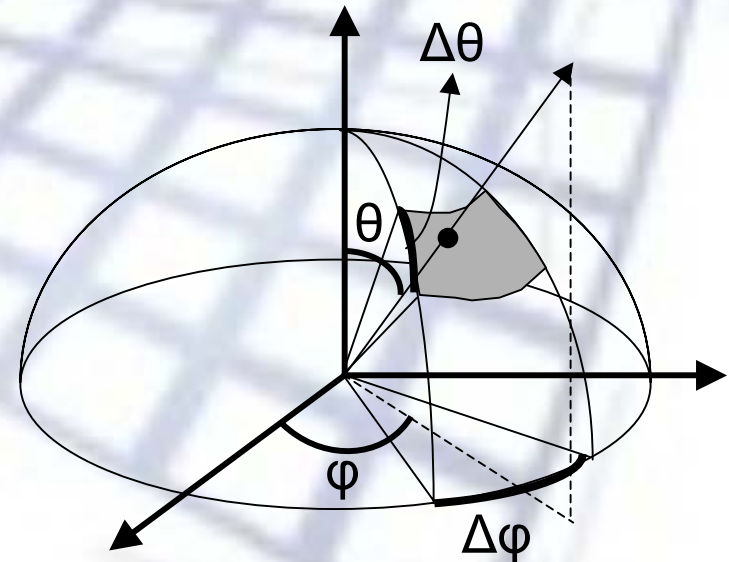


Form-Factors: Ray Tracing

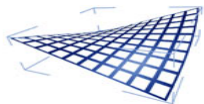
- Cada área elementar (l,m) dá origem a um raio que determina qual o patch P_j visível ao longo daquela direcção
- O *form-factor* F_{ij} é dado pela soma dos ΔF_{lm}

$$F_{ij} = \sum_q \Delta F_{lm}$$

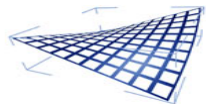
- A opção pelo algoritmo do hemicubo ou pelo *ray tracing* depende do desempenho dos algoritmos de projecção e *ray tracing* utilizados.



Radiosidade: Imagens



Radiosidade: Imagens



Radiosidade: Imagens



‘*color bleeding*’ – a parede branca assume um tom avermelhado nas zonas fortemente iluminadas devido às interreflexões difusas.

Este efeito é de difícil modelação com *ray tracing*.

